

## Format digitálních obrázků

Obrázek 1

- Máme tři druhy čísel. (Většina sávce 2, ryby, ještěři a ptáci 4.)
- Barvy, které lze porovnat lidským očem se dají vyjádřit jako (in. kód.  $R, G, B$ ). Cíl:  $(R, G, B) \in [0, 1]^3$
- $\{0, 1, \dots, 255\}^3$  (24 bitů, ale používáme 48 bitů)
- Emisní záření - monitory vyzraňují kombinaci těchto barev (Aditivní model)
- Absorbční záření - křížené materiály - absorbuje kombinaci těchto barev (Subtraktivní model)

$$\begin{aligned} C &= 1 - R && \text{azurová} \\ M &= 1 - G && \text{purpurová} \\ Y &= 1 - B && \text{zlatá} \\ K & && \end{aligned}$$

černá - v praxi je lepší nahradit samém všech tří barev  
 černou - kombinace totiž příliš probaluje  
 - kombinace je nevhodnější  
 - pro jemné detaily, jako písma, musí být perfektně srovnávat

- RGB model je ~~vysoko~~ vysoko korelovaný.
- Při převodu  $\rightarrow$  ČB TV vysílání na barevné se objevil YUV model.

$$Y = 0.299 R + 0.587 G + 0.114 B \in [0, 1] \quad \text{jas}$$

$$U = B - Y \in [-0.886, 0.886]$$

$$V = R - Y \in [-0.701, 0.701]$$

} Barevnosné složky

$$\begin{pmatrix} Y \\ U \\ V \end{pmatrix} = \begin{pmatrix} 0.299 & 0.587 & 0.114 \\ -0.299 & -0.587 & 0.886 \\ 0.701 & -0.587 & -0.114 \end{pmatrix} \begin{pmatrix} R \\ G \\ B \end{pmatrix}$$

- V počítacích se tento nazývá YCbCr model,  $(R, G, B) \in \{0, \dots, 255\}^3 \Rightarrow (Y, C_b, C_r)$

$$\begin{pmatrix} Y \\ C_b \\ C_r \end{pmatrix} = \begin{pmatrix} 0 \\ 128 \\ 128 \end{pmatrix} + \begin{pmatrix} 0.299 & 0.587 & 0.114 \\ -0.169 & -0.331 & 0.5 \\ 0.5 & -0.419 & -0.081 \end{pmatrix} \begin{pmatrix} R \\ G \\ B \end{pmatrix}$$

2. řádek matice jmeně získali jeho  $\frac{1}{2 \cdot 0.886}$   
 3. řádek jeho  $\frac{1}{2 \cdot 0.701}$

Vektorový formát (EPS) Nevhodný pro steganografii.

Obraz 2

Rastrový formát (BMP, PNG)

- Matice, kde každá složka obsahuje údaj o barvě příslušného pixelu.
- Bezstrukturý formát.
- BMP používá RLE
- PNG používá DEFLATE (jako ZIP) (LZW + Huffman)

Paletový formát (PNG, GIF)

- Matice, kde složky udávají číslo barev
- Navíc paleta, která číslem přiřazuje barvu 
- Paleta může obvykle 2-256 barev.
- GIF používá LZW kompresi (LZW84)
- Možnosti:
  - Defaultní paleta
  - Paleta sítí na mém obrázku
- Pokud obrázek obsahuje jen omezené možnosti barev, tak není problém
- Sestrojení palety:
  - Už beru nejčastější barvy - nizkové
  - Budu usilovat o to aby i všechny aktuální barevné hodnoty byly v paletě (median-cut algorithm)
- Snížení barevné hladkosti obrázku
  - Každou barvu zaokrouhlím na nejbližší barvu v paletě
  - Zaokrouhlím a chybou zaokrouhlení přenesu na další nezaokrouhlené pixely.

Floyd-Steinberg differencing (Chybou difuze)

Postupujeme po řádcích a modifikujeme obecně pixely obrázku

|               |             |
|---------------|-------------|
| $a_{ij}$      | $a_{i+1,j}$ |
| $a_{i+1,j+1}$ | $a_{i,j+1}$ |

$$\bar{a}_{ij} = \text{nejblížší barva palety k } a_{ij}$$

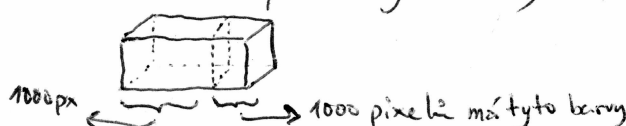
$$e_{ij} = a_{ij} - \bar{a}_{ij}$$

npr. v paletě  
barem číslo násobek  
00A0FD = 0000FF

|                                     |                                   |
|-------------------------------------|-----------------------------------|
| $\bar{a}_{ij}$                      | $a_{ij+1} + \frac{7}{16} e_{ij}$  |
| $a_{i+1,j-1} + \frac{3}{16} e_{ij}$ | $a_{i+1,j} + \frac{5}{16} e_{ij}$ |

$$a_{i,j+1} = a_{i,j+1} + \frac{7}{16} e_{ij}$$

- Median-cut:
- Na barev se dívám jako body  $\rightarrow$  rychle faktor  $\{0,1\}$ . Která barva (bod) má větší rozdíl mezi svou barvou a barvou sítě?
  - Tuto rozdílnost na 256 kvadrů v každém kvadratu spočítám tříčíselné barev  $\rightarrow$  vložit do palety.
  - Rozdílení na kvadrany se provádí rekursivně:
    - 1) barev otevřené nejmenším kvadrarem.
    - 2) každý rozdílnost podle nejdelsí osy v medianu.



## Transformační formát (JPEG)

- Obvykle ztrátový
- Speciál v převodu do reálné jiné reprezentace, kde lze část dat zanedbat, aniž by se tím závažně snížila kvalita obrázku.

### JPEG kódování:

1) Rozklad na jas a barvonošné složky  $C_b$  a  $C_r$ .

Každá z těchto složek dívá matice s hodnotami  $\{0, 1, \dots, 255\}$ .

S každou datou pracujeme samostatně.

2) Rozdělení na bloky a podzorkování

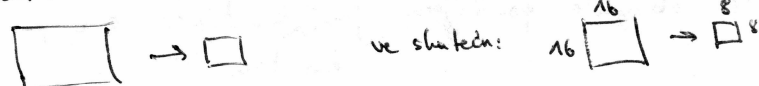
- Obrázek se rozdělí na bloky  $8 \times 8$  pixelů.

- Barvonošné složky se obvykle podzorkují předtím než jsou rozděleny na bloky.

- Poloha stran obrázku nejsou dělitelné 8 doplníce pixely, které se zase při dekodování ořeší.

Co je podzorkování (subsampling):

- Barvonošná část obrázku se zmenší typicky  $\approx 1/2$  v každém směru



- Lze ovšem zmenšit jen v jednom směru nebo v rázovém směru.



- Při dekodování se zase nafoukne na původní velikost

~~- Pro Cb a Cr~~ Standardní přípravští: jiné ponery treba  $\leftrightarrow \frac{1}{2} \leftrightarrow \frac{1}{4}$

- Pro  $C_b$  a  $C_r$  lze užít různé ~~spíše~~ ponery podzorkování.

3) Diskrétní kosinová transformace. 100 každý koeficient oddíleme 128.

Pro každý blok velikosti  $8 \times 8$  B spočítáme blok velikosti  $8 \times 8$  d jeho lineární kombinaci:

$$d[k, l] = \sum_{i,j=0}^7 f(i, j, k, l) B_{ij}, \quad \text{koeficient lin. komb.}$$

$$\text{kde } f(i, j, k, l) = \frac{w_k w_l}{4} \cos\left(\frac{\pi}{16} k(2i+1)\right) \cos\left(\frac{\pi}{16} l(2j+1)\right) \star_{k,l}$$

$$\text{a } w_0 = \sqrt{\frac{1}{2}}, \quad w_i = 1 \text{ pro } i > 0.$$

Inverzní DCT je ~~stejná~~:

$$B_{ij} = \sum_{k,l=0}^7 f(i, j, k, l) d_{k,l}$$

|    |    |    |     |
|----|----|----|-----|
| DC | AC | AC | -AC |
| AC | AC | -  | -   |
| -  | -  | -  | -   |
| -  | -  | -  | -   |

- Existují implementace DCT které ~~nejsou~~ pracují s celými čísly a jsou tedy "právější" k počítání, ale díky malého jisté následky.  $\Rightarrow$  Mohou využívat statistickou distribuci DCT koeficientů.
- DCT je vlastně svéba báze v prostoru všech matic velikosti  $8 \times 8$ .
- Nová báze je  $\{ (f(i,j,k,l))_{i,j} : i, l \in \{0, \dots, 7\} \}$ .

Tato báze je ON vzhledem k dot product.

- DCT koeficienty mohou teoreticky ležet v rozsahu  $[-1024, 1024]$  nebo jí všechny rovnovážné rozloženy (konzentrují okolo 0)

#### 4) Kvantizace

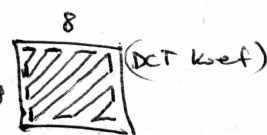
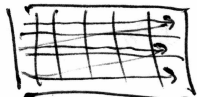
- Zde dochází ke ztrátě dat
- ~~Stav~~ Q matici  $8 \times 8$
- Standard zadání sady matic indexovaných číslem  $g \{1 \dots 100\}$   
ale do JPEGu lze zadat vlastní kvantizační matici

$$D_{kl} = \text{round} \left( \frac{d_{kl}}{Q_{kl}} \right), k, l \in \{0, \dots, 7\}$$

- Čím vyšší hodnota  $Q_{kl}$  tím více se přišříny - koeficient zkudba
- Při rekonstrukci  $d'_{kl} = D_{kl} Q_{kl} + \frac{d_{kl}}{Q_{kl}}$
- Pro barvovosné složky se obvykle používají jiné maticy než pro jasovou složku kvantizaci

#### 5) Bez ztrátová komprese

- Koeficienty se převodí na paralelnost



Nenulové koeficienty býdou v Huffmanovém kodování (malé hodnoty mají krátší vyjádření, větší hodnoty delší)

- Pro každý nenulový koeficient spočítáme kolik má předcházejících a potom ho společně s tímto řádkem zahrnujeme Huffmanovým kodováním.
- Toto se říká sekvenciální kodování (zig-zag, next block, zigzag, next block...)
- Alternativou je progresivní kodování.  
Nejdříve býdou koeficienty v levém horním rohu každého bloku, potom všechny koeficienty na pozici (0,1), potom všechny na pozici (1,0) (zazářit)  
(čeles opět zigzag)
- Toto umožňuje postupné učitání obrázku.
- Formát JPEG je možem obecnější foto je jen nejtýpičtější paritě.

RFJP? IE neumí progresivní

## Akvizice obrázku

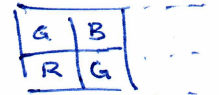
→ 2000x foton

Einstein  
Nobelovcen M21

Obraz 5

- Založena na fotoelektrickém jevu → Měření napětí, které vzniká v diodách akumulace náboje. (Fotodioda → 
- ⇒ Měření intenzitu, nikoliv barev.

- Měření barev: Před senzorem se vloží Bayerův filtr:



; ; ; ;

Převod na pixely:  $\begin{array}{|c|c|} \hline A_1 & B \\ \hline R & G \\ \hline \end{array} \rightarrow \begin{array}{|c|c|} \hline R & B \\ \hline A_1 = (G_1 + G_2)/2 & (nic moc) \\ \hline \end{array}$

• Interpolace  zpracování jednotek R a jednotek B  $(\frac{R_1+R_2}{2}, G_1, \frac{B_1+B_2}{2})$

$$\begin{array}{|c|c|c|c|} \hline B & G & B \\ \hline G & R & G \\ \hline B & G & B \\ \hline \end{array} \quad (R, \frac{G_1+G_2+G_3+G_4}{4}, \frac{B_1+B_2+B_3+B_4}{4})$$

(V okolí hran vznikají způsobem artefakty)

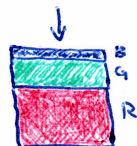
- Chytrá interpolace: Např. volit směr interpolace tak, aby byla maximalizována homogenita

Tento proces se nazývá demosaicing

- Vytváří vztahy mezi sousedními pixely.
- Modifikace pixeli tyto vztahy uvažuje.
- Analyzou těchto vztahů lze detektovat např. falešnou fotku nebo steganografii.
- Alternating - světlo rozdílne

- Využít toho, že světlo průniku kloubí: do silikonového čipu

Foveon X3



- Další úpravy: • Využití bitů  $R' G' B'$   $\begin{pmatrix} R' \\ G' \\ B' \end{pmatrix} = \begin{pmatrix} g_R & 0 & 0 \\ 0 & g_G & 0 \\ 0 & 0 & g_B \end{pmatrix} \begin{pmatrix} R \\ G \\ B \end{pmatrix}$

Řešit problém ohledně osvětlení

Předpokládá se, že nový nový obrázek je být popř. řešit a podle toho se upraví, aby tomu tak slídit bylo.

- Gamma korelace:

Problém - kameru využívat jas lineárně

(tisku či monitoru jas logaritmicky (chrání proti oslnění?))

Ne-lineárně

$$R' = R^\gamma$$

$$G' = G^\gamma$$

$$B' = B^\gamma$$

hude a  $\gamma = \frac{1}{2.2}$

- Odstranit šumy

- Odstranit defektu

- Digitální ostření

- Úprava ohražů - problém při výsledném zoomu



↑ Tvorí obraz

- Úprava perspektivity - focení budov ze spodu



Tato ještě všechny JPEG komprese uvozit do obrazu (střední vztahy, které je třeba při ukládání respektovat).

Sum

- Zdroje sumy:
- Nedokonalosti a nečistoty v materiálu čipu. → Různá citlost pixelů.
  - Nedokonalosti → Bayerové filtry
  - Teplota (Johnson-Nyquist noise) → sum uvažuje přímo v elektronice
  - Defektivní pixely (horší nebo vůbec nerozpoznané)
  - Odrázy světla vnitř optiky fotoaparátu.
  - Nečistoty na optice.
  - Přeekopnoucí pixelu může vést k přetěžení režimu do dalších pixelů.
  - Amplifikace je významným zdrojem sumy při nízkých světelových podmínkách. Má normální rozdělení

Amplifikace: 

Náboj → Napětí → Amplifikované napětí → Digit.

- Kvantizací sumy: Demodulace, filtry, uložení do JPEG
- Výstředový sumy: Vychází z kvantové povahy světla počet fotomů, které dopadnou na snímač je mimořádně velká. Nechť  $X$  je počet fotomů, které dopadly na ~~na~~ pixel a  $\lambda$  průměrný počet fotomů dopadajících na pixel za sekundu pak  $P(X=k) = \frac{e^{-\lambda \Delta t} (\lambda \Delta t)^k}{k!}$  a  $EX = var X = \lambda \Delta t$

Zvýšeně - li hodnota  $\lambda \Delta t$ , pak ~~se~~ relativní sumu bleská.

$$\frac{var X}{EX} = \frac{1}{\sqrt{\lambda \Delta t}} \rightarrow 0$$

Odmě se bere Poissonovo rozdělení?  $\Delta t \underbrace{| + + \dots + |}_{n+1}$

Předpokládejme, že v čase  $\frac{\Delta t}{n}$  dopadne nejvýše jeden fotom. potom pravděpodobnost dopadu je  $\frac{\lambda \Delta t}{n}$ .

$$P(X=k) = \binom{n}{k} \left(\frac{\lambda \Delta t}{n}\right)^k \left(1 - \frac{\lambda \Delta t}{n}\right)^{n-k} = \frac{\left(\frac{\lambda \Delta t}{n}\right)^k}{k!} \frac{\left(1 - \frac{\lambda \Delta t}{n}\right)^n}{\left(1 - \frac{\lambda \Delta t}{n}\right)^k} \xrightarrow[n \rightarrow \infty]{} \frac{e^{-\lambda \Delta t}}{k!} \xrightarrow[\text{pro } n \rightarrow \infty]{\lambda \Delta t} e^{-\lambda \Delta t}$$

- Některý sum je tedy pro dané zařízení statický a jiný nikoliv.
- Statický sum může sloužit jako otisk proti danému zařízení (Ize ho např. učít z nějaké jednobarevné plochy), ale snímku je potřeba víc, aby se eliminoval variabilní sum (není nutné stále použít bavinking filter).
- Některé fotoaparáty se snaží tento statický sum učít a odečíst od fotek.